

九州大学工学部 正員 小坪 清真
 建設者土木研究所 正員 ○原田 譲二
 九州大学大学院 学生員 鳥狩 清
 三井建設 KK 正員 収口 修

1. 考え方

著者等は前論⁽¹⁾⁽²⁾において、長大橋梁の各基礎に作用する地震波が異なる場合には、この影響を考慮して地震応答を計算しなければならないことを示した。又、前論⁽³⁾⁽⁴⁾においては、両端単純支持の梁が一端が外乱加速度を受けた場合の梁の振動を曲げ波動論により解析し、従来行われる 3 modal analysis による計算結果と比較し、さらに簡単な模型実験によつて検証し、橋脚内を伝わる波動現象が 3 modal analysis によつても十分な精度で解析できる事を示した。

本論は、三径間連続桁橋の一端支点が外乱加速度をうける場合の橋内の波動現象を模型実験によつて求め、 3 modal analysis によつて解析できるかどうかを研究した結果を述べたものである。

2. Modal analysis による解法

今、図-1に示すように、橋台、橋脚を含め、N個の支点をもつ橋梁の各支点における地震波を $\phi_j(t)$ ($j=1, 2, \dots, N$)、橋梁の第S次の振動型を $Y_s(x)$ 、固有円振動数を n_s 、橋梁の単位長重量を $w(x)$ 、重力加速度を g 、ある支点のみが地動 $\phi_j(t)=1$ を生じた時の橋脚の静的変形曲線を $f_j(x)$ とすれば、各支点の地震加速度 $\ddot{\phi}_j(t)$ が与えられた場合の橋梁の応答は次式で表わされる。

$$y(x,t) = \sum_{s=1}^n a_s Y_s(x) + \sum_{j=1}^N f_j(x) \phi_j(t) \quad (1)$$

ここに、 a_s は一般座標と時間の函数であり、 a_s に対する一般力 Q_s は次式で表わされる。

$$Q_s = - \sum_{j=1}^N \int \frac{w}{g} \ddot{\phi}_j(t) f_j(x) Y_s(x) dx \quad (2)$$

運動エネルギーおよび垂エネルギーを求め、Lagrange の運動方程式に代入すれば、 a_s に関する次の微分方程式が得られる。

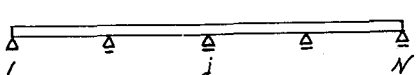
$$\ddot{a}_s + 2h_s n_s \dot{a}_s + n_s^2 a_s = - \sum_{j=1}^N \beta_{sj} \ddot{\phi}_j \quad (3)$$

$$\beta_{sj} = \frac{\int \frac{w}{g} f_j(x) Y_s(x) dx}{\int \frac{w}{g} Y_s^2(x) dx} \quad (4)$$

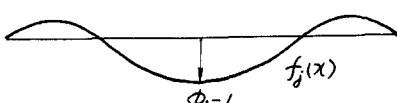
ここに、 h_s は第S次の振動に対する減衰定数である。
 変位が(1)式で表わされる場合の橋内の曲げモーメント

図-1

側面図



平面図



は次式で表わされる。

$$\begin{aligned} M(x, t) &= -\sum_{s=1} \alpha_s E I \frac{d^2 Y_s(x)}{dx^2} - \sum_{j=1}^N E I \frac{d^2 f_j(x)}{dx^2} \phi_j(t) \\ &= \sum_{s=1} \alpha_s M_s(x) + \sum_{j=1}^N M_j(x) \phi_j(t) \end{aligned} \quad (5)$$

ここに、 $M_s(x)$ は s 次の振動型に対する曲げモーメントモード、 $M_j(x)$ は $f_j(x)$ によって生じる曲げモーメントすなわち、すばる基礎が $\phi_j(t)=1$ の変位をした時に x 点に生じる曲げモーメントである。長大橋梁においては、(5)式右辺第2項による曲げモーメントは一般に小さく第1項に比べ無視できる程度のものである。

3. 模型実験装置

模型ばかりは一端反点に外乱加速度を与えた場合の桁内の曲げ波動の伝播現象がよく判るように、横方向に曲げ剛性の小さい模型ばかりを作成するため、材料に厚さ 8 mm のエポキシ樹脂板を用い、桁高 5 cm、1 スパン 3.5 m の 3 等径間連続桁橋を作成し、これを図-2 に示すように、支点はボールベアリングで支持ヒンジとし、外乱加速度を与える一端のみ板バネで支持し、桁内の曲げ波動の伝播は、桁の両側面に橋軸方向にひずみゲージをはりつけ、曲げひずみの伝播を測定して求めた。この模型の曲げ波動伝播を modal analysis によって解析する場合に必要な桁の固有円振動数および減衰常数は、magnet による 1 点加振による共振回数と電流遮断後の自由減衰振動から求めた。一端における外乱加速度は図-2 に示すように、ベアリングの上に抵抗線式加速度計を設置して測定した。

4. 実験結果および計算結果

模型ばかりの固有円振動数および減衰常数を測定して結果は表-1 のとおりである。

表-1

次数	固有円振動数	減衰常数
1	3.63	
2	4.65	
3	6.80	
4	13.63	0.050
5	15.54	
6	21.03	0.048
7	32.47	0.044
8	35.46	
9	41.00	0.032
10	68.67	
11	71.40	0.032
12	81.77	

図-2 連続ばかり模型

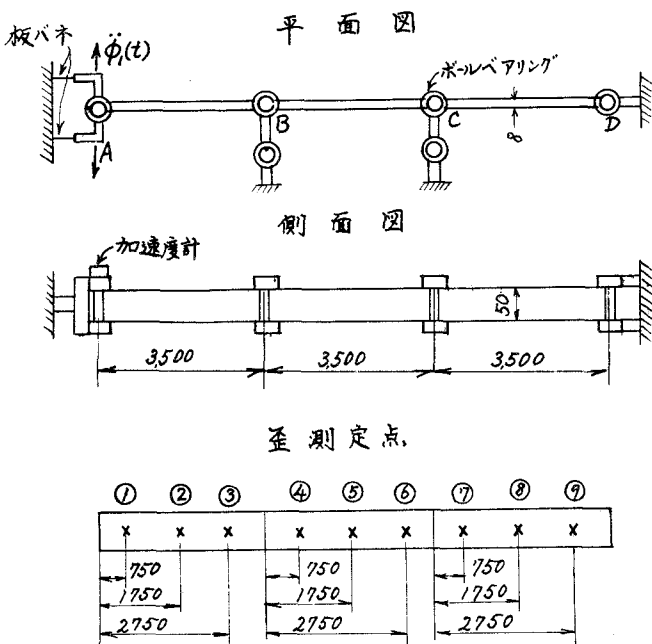


図-3(a)は
一端支点Aで与
えられた水平加速度
である。(b)~(e)
の実線は、垂測
点②, ④, ⑥,
⑧の各点で得ら
れた荷の曲げ歪
の時間的変化を
示したもので、
曲げ波動の伝播
状態が明らかに
見受けられる。

同図の点線は
模型橋に対し、
(a)の加速度記録
に対する歪の応答
を modal-
analysis によ
つて計算したもの
である。

なお、計算では
所の振動次数を

12次まで採った。

前論⁽⁴⁾でも述べたように、外乱加速度の周期より短い固有周期の振動次数まで採用しつければ応答を正しく計算する事は出来ない。

計算に当つては、各次の減衰常数を等しく 0.03 にとった。

図-4は模型橋の振動型を示したものである。

図-3 曲げひずみの伝播

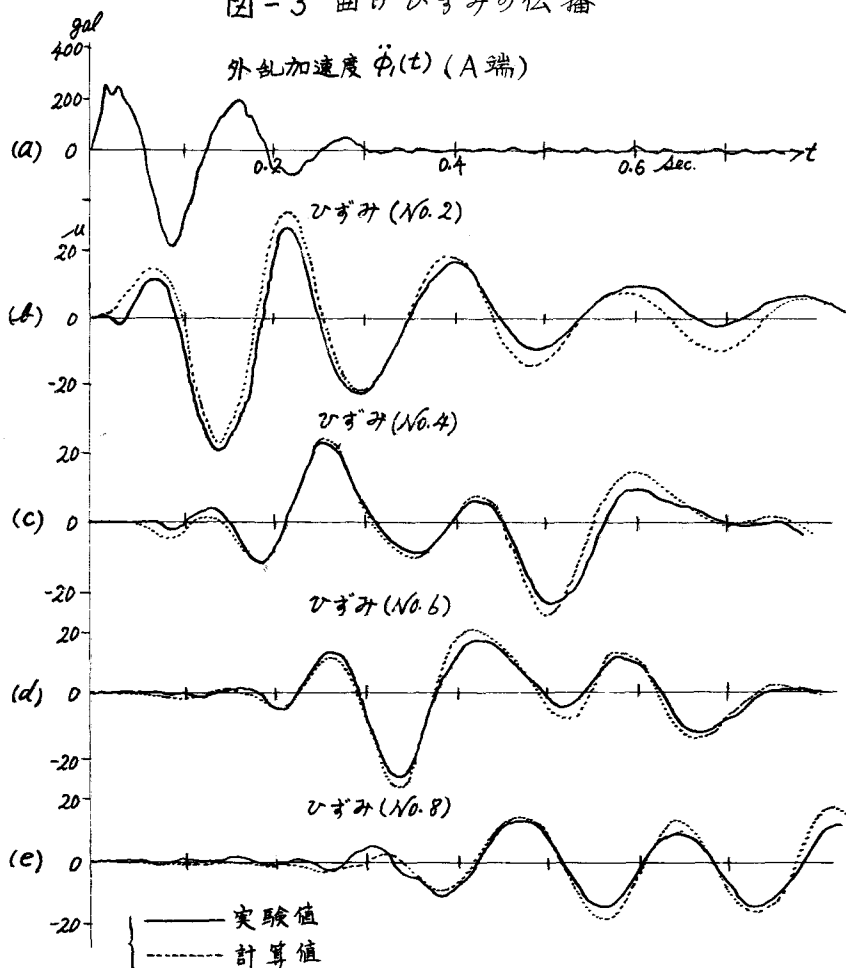
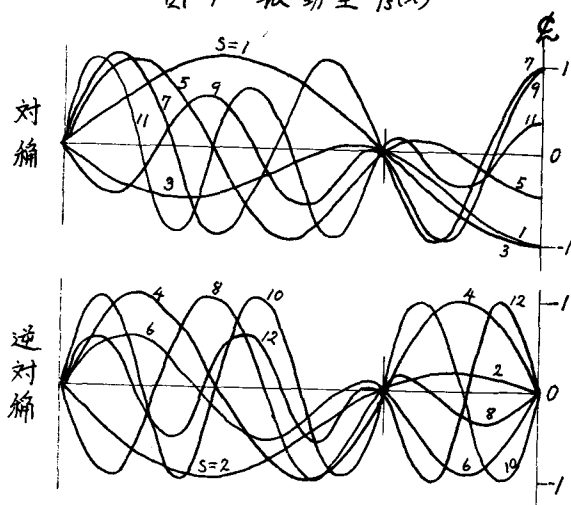


図-4 振動型 $Y_s(x)$



5. 結果に対する考察

これらの結果から
次の事項が判明した。

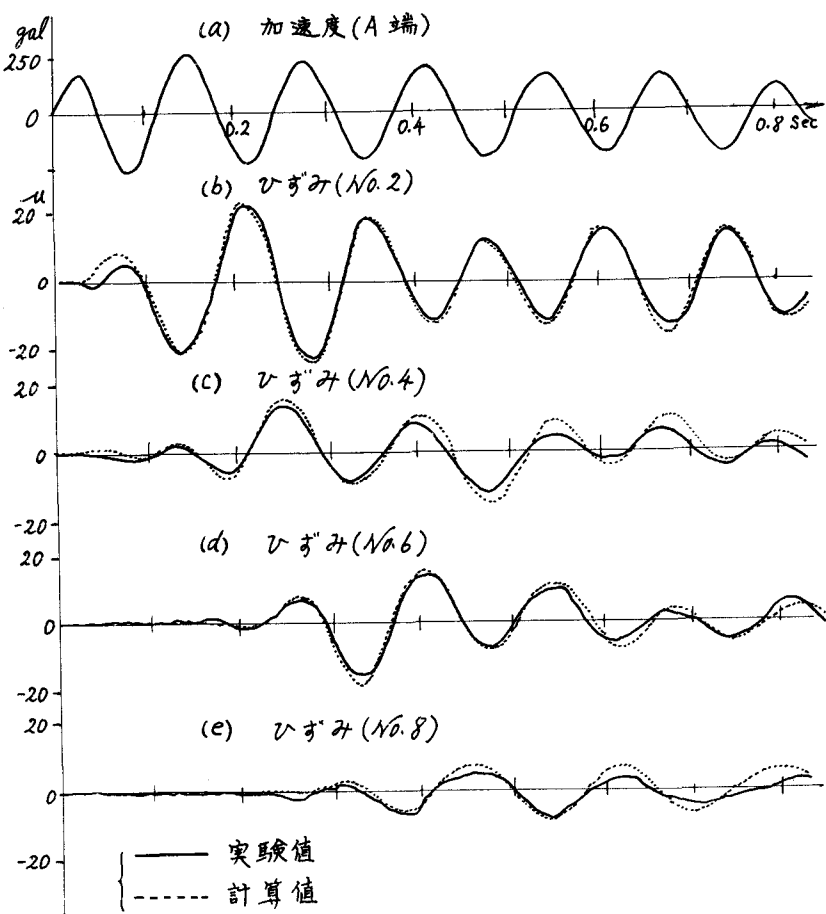
(1) modal analysis

によつても、連続橋
橋内の曲げ波動の伝
播現象を認めることが
出來る。

(2) 連続橋における 曲げ波動は外乱 加速度の周期に近い 固有周期の振動型が 卓越する。従つて、 外乱加速度の周期よ り小さな固有周期の 振動次数子を探らね ければならない。

(3) 各支点で地震波 が異なる場合に、従 来、地震の変位記録 を入力として用い応 答計算が行われてい るが、本論に述べた 支点における加速度 記録を用いて応答計 算を行う事が出来る。

図-3 曲げひずみの伝播



文献

- (1) 小坪清夏・原田謙二「ディビダーグ橋の地震応答に及ぼす地動位相差の影響」 九大工学雑報 Vol. 40, NO. 6, 昭和42年12月
- (2) 小坪清夏・原田謙二「橋桁の横振動に及ぼす波動伝播の影響」 土木学会第23回年次学術講演会 昭和43年10月
- (3) 小坪清夏・原田謙二・鳥野清「地震時にかけた橋橋内の曲げ波動伝播」 第10回地震工学研究発表会 昭和44年7月
- (4) 小坪清夏・原田謙二「支点の外乱による梁の曲げ波動伝播について」 九大工学雑報 Vol. 42, NO. 3 昭和44年6月